



Московский государственный университет имени М.В. Ломоносова

Факультет вычислительной математики и кибернетики

Кафедра вычислительных методов

Попко Федор Дмитриевич

# **Параллельная реализация явной разностной схемы для решения уравнения теплопроводности.**

Отчет

Москва, 2024

# Содержание

<b>1</b>	<b>Постановка задачи</b>	<b>3</b>
<b>2</b>	<b>Выбор алгоритма для параллельной реализации</b>	<b>3</b>
2.1	Разностная схема . . . . .	3
2.2	Алгоритм параллельных вычислений . . . . .	4
2.3	Реализация . . . . .	4
<b>3</b>	<b>Численные эксперименты и анализ масштабируемости</b>	<b>5</b>
3.1	Параметры экспериментов . . . . .	5
3.2	Метрики масштабируемости . . . . .	6
3.3	Результаты сильной масштабируемости для $N_x = 16384$ . . . . .	6
3.4	Результаты сильной масштабируемости для $N_x = 32768$ . . . . .	8
3.5	Сравнение численного и аналитического решения . . . . .	9
3.6	Выводы . . . . .	10
3.7	Программно-аппаратная среда . . . . .	10
3.8	Ссылки на исходный код и алгоритмы . . . . .	12

# 1 Постановка задачи

В данной работе рассматривается задача одномерной теплопроводности с источником. Уравнение теплопроводности описывается следующим образом:

$$\frac{\partial u}{\partial t} = A \frac{\partial^2 u}{\partial x^2} + f(x), \quad x \in [0, L], \quad t > 0, \quad (1)$$

где:

- $u(x, t)$  — температура в точке  $x$  в момент времени  $t$ ,
- $A$  — коэффициент теплопроводности,
- $f(x)$  — функция источника тепла.

Граничные условия:

$$u(0, t) = u(L, t) = 0, \quad t \geq 0. \quad (2)$$

Начальное условие:

$$u(x, 0) = \sin\left(\frac{\pi x}{L}\right), \quad x \in [0, L]. \quad (3)$$

Функция источника задаётся в виде:

$$f(x) = \sin\left(\frac{\pi x}{L}\right). \quad (4)$$

Основная цель эксперимента — вычислить распределение температуры  $u(x, t)$  на отрезке  $x \in [0, L]$  в течение времени  $t \in [0, T]$ , используя численный метод решения уравнения теплопроводности с разностной схемой.

## 2 Выбор алгоритма для параллельной реализации

Для решения одномерного уравнения теплопроводности используется явная разностная схема

### 2.1 Разностная схема

Для численного решения используется явная схема:

$$u_i^{n+1} = u_i^n + C (u_{i+1}^n - 2u_i^n + u_{i-1}^n) + \Delta t \cdot f(x_i), \quad (5)$$

где:

- $u_i^n$  — значение температуры в  $i$ -й точке на временном слое  $n$ ,
- $C = \frac{A\Delta t}{\Delta x^2}$  — число Куранта,
- $\Delta x$  — шаг по пространству,
- $\Delta t$  — шаг по времени,
- $f(x_i) = \sin\left(\frac{\pi x_i}{L}\right)$  — источник тепла.

Данная схема накладывает ограничение на величину числа Куранта  $C \leq 0.5$  для обеспечения устойчивости.

## 2.2 Алгоритм параллельных вычислений

Для распараллеливания задачи используется распределение по пространственной координате  $x$ . Весь стержень делится на  $P$  подотрезков, где  $P$  — количество процессов. Каждый процесс отвечает за вычисление температуры в своей части стержня.

1. В начальный момент времени каждый процесс инициализирует свою часть массива  $u_i$  в соответствии с начальным условием  $u(x, 0) = \sin\left(\frac{\pi x}{L}\right)$ .
2. На каждом временном шаге процессы обмениваются граничными значениями температуры с соседями:
  - Левый сосед передаёт правую граничную точку соседу слева.
  - Правый сосед передаёт левую граничную точку соседу справа.
3. После обмена данными каждый процесс обновляет значения температуры в своей области, используя разностную схему.
4. Процессы периодически собирают данные на процесс с рангом 0 для записи промежуточных результатов.

## 2.3 Реализация

Параллельная реализация осуществляется с использованием библиотеки MPI (Message Passing Interface), позволяющей распределить вычисления между несколькими процессами. Основные функции MPI, используемые в алгоритме:

- `MPI_Init`, `MPI_Finalize` — инициализация и завершение работы с MPI.

- `MPI_Comm_rank`, `MPI_Comm_size` — определение ранга текущего процесса и общего числа процессов.
- `MPI_Isend`, `MPI_Irecv` — асинхронный обмен данными между процессами.
- `MPI_Gather` — сбор данных со всех процессов на один процесс.

### 3 Численные эксперименты и анализ масштабируемости

Для оценки производительности алгоритма были проведены численные эксперименты на суперкомпьютере «Ломоносов-2». В рамках экспериментов исследовалась сильная масштабируемость алгоритма, а также проводилось сравнение численного решения с аналитическим.

#### 3.1 Параметры экспериментов

Для моделирования использовались следующие параметры:

- Длина стержня:  $L = 100.0$ ;
- Время моделирования:  $T = 10.0$ ;
- Коэффициент теплопроводности:  $A = 0.1$ ;
- Общее число узлов по пространству:  $N_x = 16384, 32768$ ;
- Количество процессов:  $P = 1, 2, 4, 8, 16, 32$ .

Численные эксперименты включали:

1. Изучение сильной масштабируемости: фиксировался размер задачи ( $N_x = 16384, 32768$ ), а число процессов увеличивалось от 1 до 32.
2. Сравнение численного и аналитического решения на нескольких временных слоях.

## 3.2 Метрики масштабируемости

Для анализа производительности использовались следующие метрики:

- **Время выполнения:**

$T_{\text{exec}}(P)$  = общее время выполнения задачи для  $P$  процессов.

- **Ускорение:**

$$S(P) = \frac{T_{\text{exec}}(1)}{T_{\text{exec}}(P)},$$

где  $T_{\text{exec}}(1)$  — время выполнения на 1 процессе.

- **Эффективность:**

$$E(P) = \frac{S(P)}{P} = \frac{T_{\text{exec}}(1)}{P \cdot T_{\text{exec}}(P)}.$$

## 3.3 Результаты сильной масштабируемости для $N_x = 16384$

На Рисунке 1 представлен график сильной масштабируемости, показывающий зависимость времени выполнения  $T_{\text{exec}}$  от числа процессов  $P$ . Ускорение и эффективность представлены на Рисунках 2 и 9 соответственно.

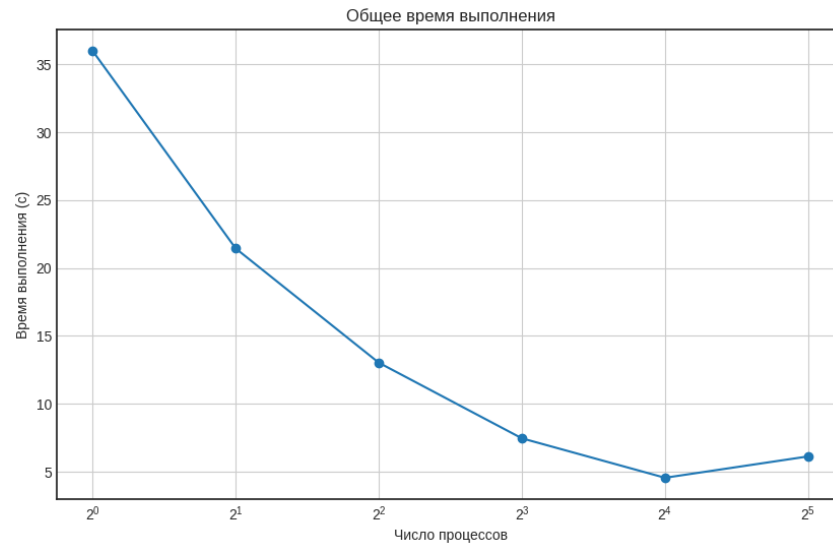


Рис. 1: График сильной масштабируемости.

На графике 1 видно, что при увеличении числа процессов  $P$  время выполнения  $T_{\text{exec}}$  уменьшается. Однако при значениях  $P \geq 32$  снижение времени выполнения замедляется из-за накладных расходов на обмен данными между процессами. Это отражается и на графике ускорения 2

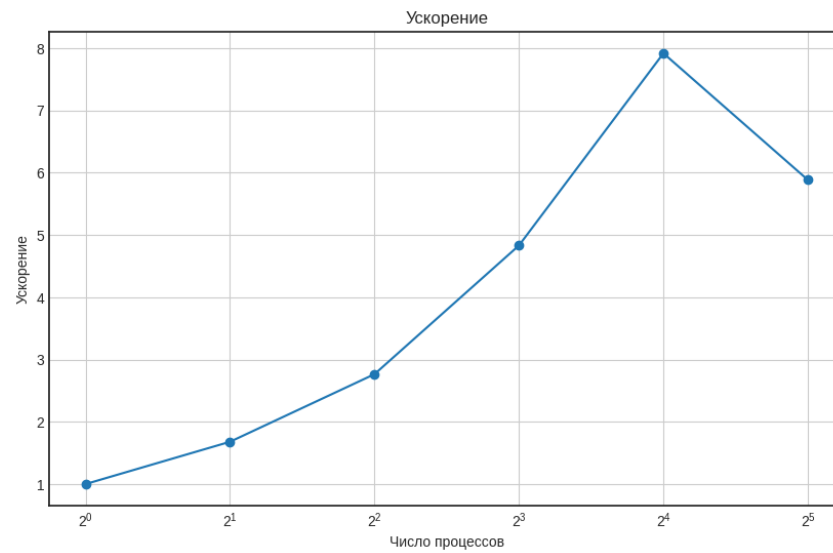


Рис. 2: График ускорения.

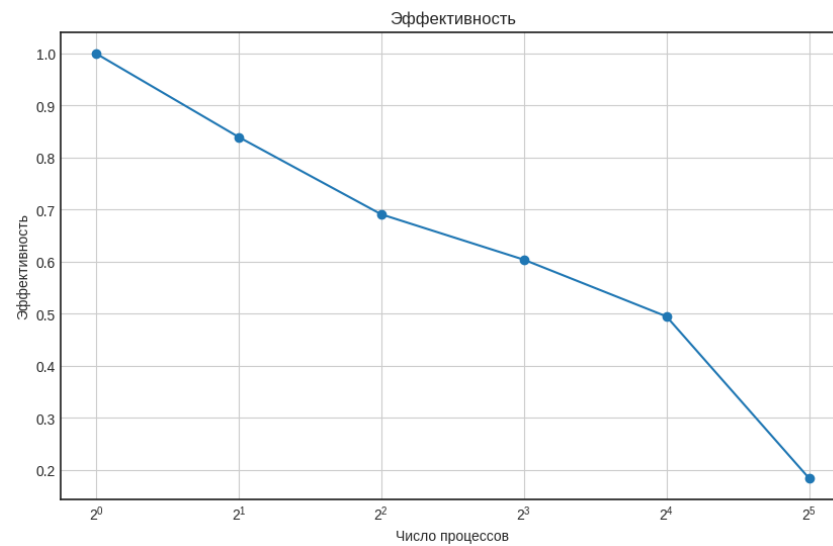


Рис. 3: График эффективности.

Эффективность  $E(P)$  близка к единице при малых  $P$ , но начинает снижаться с увеличением числа процессов, в связи с увеличением времени, затрачиваемого на коммуникацию между процессами.

### 3.4 Результаты сильной масштабируемости для $N_x = 32768$

На Рисунке 4 представлен график сильной масштабируемости, показывающий зависимость времени выполнения  $T_{\text{exec}}$  от числа процессов  $P$ . Ускорение и эффективность представлены на Рисунках 5 и 6 соответственно.

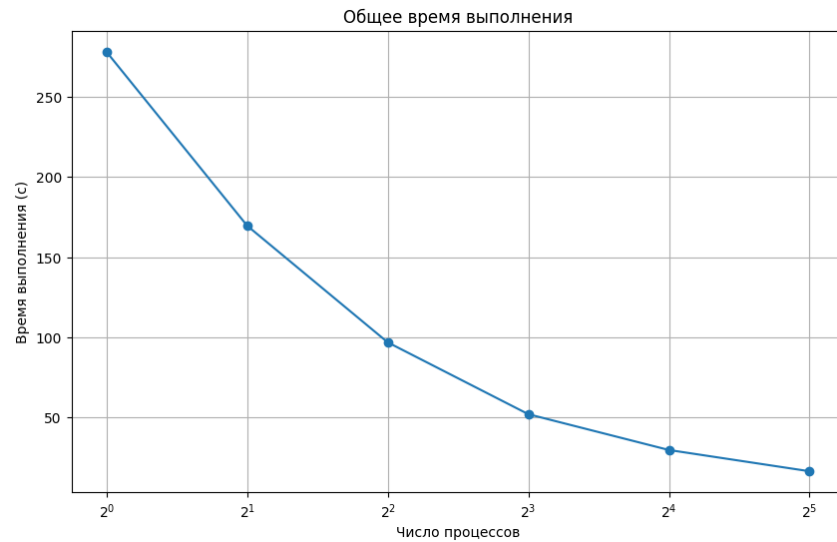


Рис. 4: График сильной масштабируемости.

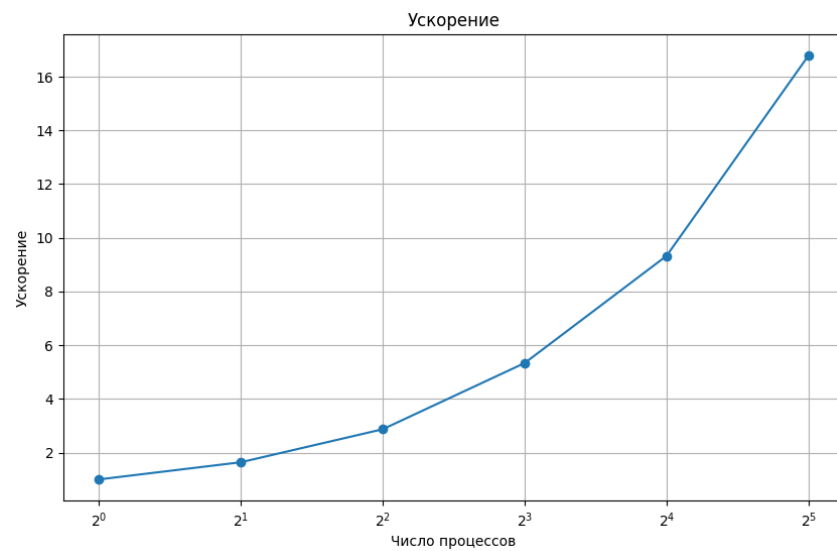


Рис. 5: График ускорения.



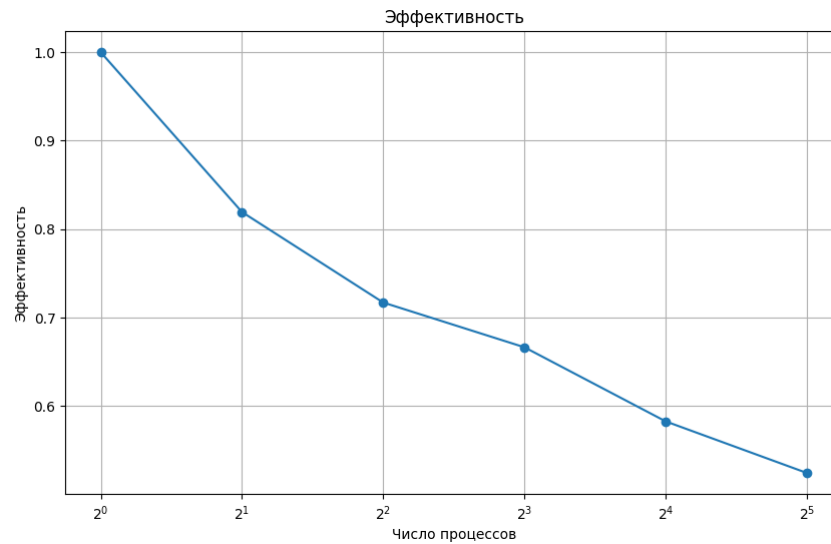


Рис. 6: График эффективности.

### 3.5 Сравнение численного и аналитического решения

Для проверки корректности численного алгоритма решение сравнивалось с аналитическим:

$$u(x, t) = \sin\left(\frac{\pi x}{L}\right) \left[ \frac{L^2}{\pi^2 A} + \left(1 - \frac{L^2}{\pi^2 A}\right) e^{-A(\pi^2/L^2)t} \right].$$

На Рисунке 7 приведены графики численного и аналитического решений для различных временных шагов, а также погрешность численного решения.

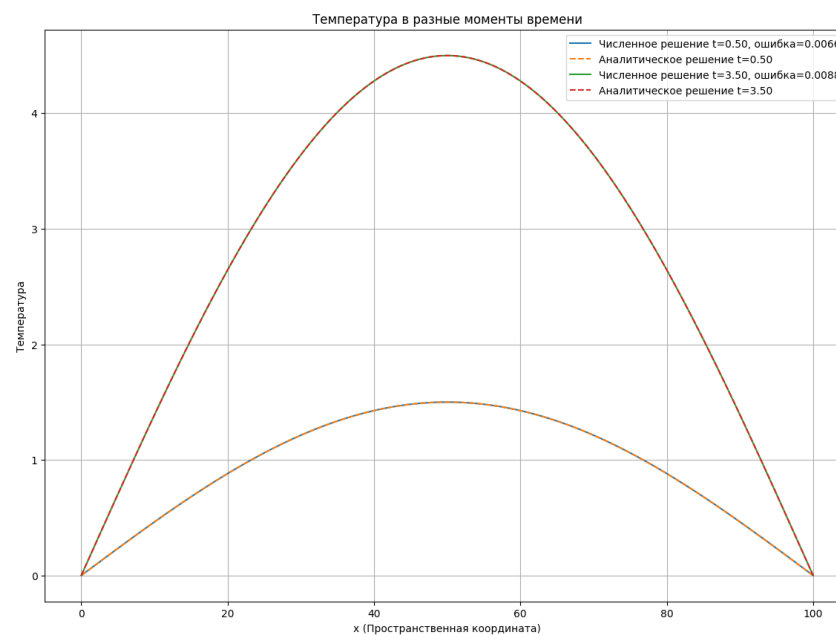


Рис. 7: Сравнение численного и аналитического решений.

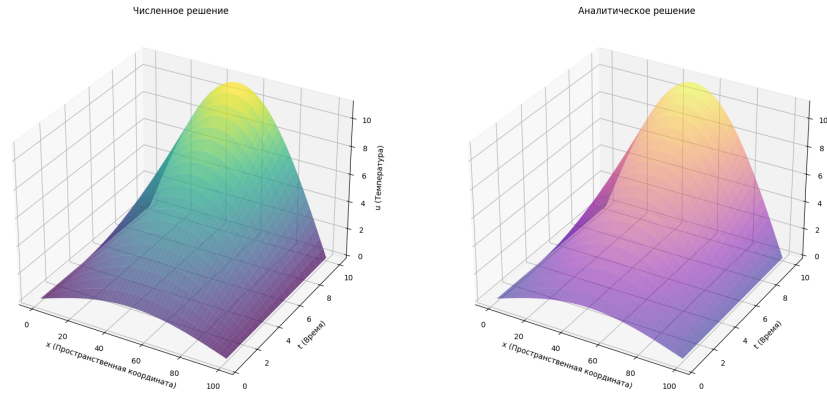


Рис. 8: Численное и аналитическое решения.

### 3.6 Выводы

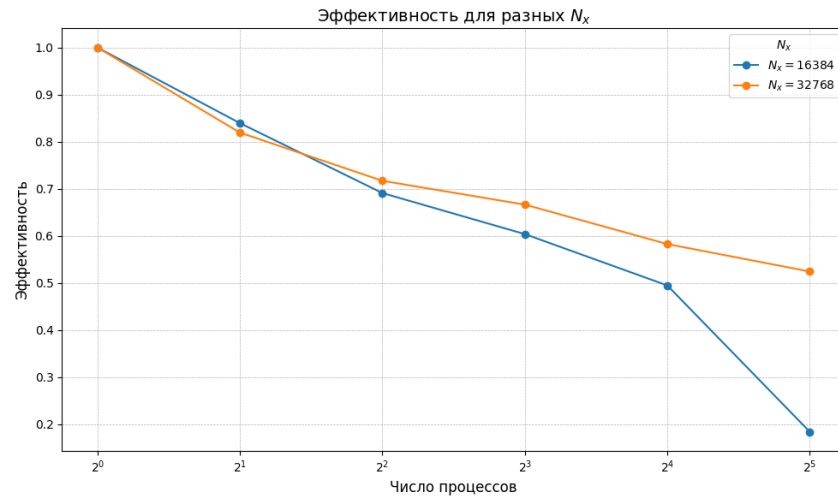


Рис. 9: График эффективности для разных разбиений по пространству

Эффективность  $E(P)$  для обоих значений  $N_x$  уменьшается с ростом числа процессов  $P$ . Для задачи с  $N_x = 32768$  эффективность выше, чем для  $N_x = 16384$ , при одинаковом числе процессов, так как при большем размере задачи вычислительная нагрузка на каждый процесс возрастает, а влияние накладных расходов на коммуникацию уменьшается.

### 3.7 Программно-аппаратная среда

Аппаратное обеспечение: вычисления проводились на вычислительном узле с архитектурой **x86\_64**, оснащённом двумя процессорами **Intel Xeon E5-2697 v3** с тактовой частотой от 1.2 ГГц до 3.6 ГГц. Каждый процессор содержит 14 физических ядер и поддерживает до 28 потоков, в сумме даёт 56 логических процессоров.

Оперативная память составляет 62 ГБ, из которых 33 ГБ доступно для вычислений, а 16 ГБ использовались в качестве буферов.

Программное обеспечение: для компиляции использовался компилятор **GCC** версии 4.8.5 с поддержкой стандарта C99 и опцией оптимизации второго уровня `-O2`. Для выполнения программы применялась библиотека MPI версии 2021.2.0 от Intel OneAPI, обеспечивающая параллельное взаимодействие между процессами. Подключённые библиотеки:

- `libm.so.6` — стандартная математическая библиотека;
- `libmpifort.so.12` — интерфейс MPI для Fortran;
- `libmpi.so.12` — основной интерфейс MPI;
- `librt.so.1` — библиотека для работы с реальным временем;
- `libpthread.so.0` — библиотека потоков POSIX;
- `libdl.so.2` — динамическая загрузка;
- `libc.so.6` — стандартная библиотека C.

Сборка программы выполнялась с использованием следующего Makefile:

```
# Compiler
CC = mpicc

# Compiler flags
CFLAGS = -std=c99 -O2

# Target executable name
TARGET = heat_equation_mpi

# Source file
SRC = heat_equation_mpi.c

# Math library
LIBS = -lm
```

```

# Default number of processes, which can be overridden from the command line
NP ?= 4

# Default rule: build the target
all: $(TARGET)

# Rule to build the executable
$(TARGET): $(SRC)
    $(CC) $(CFLAGS) -o $(TARGET) $(SRC) $(LIBS)

# Rule to run the program
run: $(TARGET)
    mpirun -np $(NP) ./$$(TARGET)

# Rule to clean the build files and all files generated by the build result_*
clean:
    rm -f $(TARGET)
    rm -f *.dat

```

### 3.8 Ссылки на исходный код и алгоритмы

Код программы и подробное описание алгоритма доступны в следующих источниках:

- Исходный код программы: GitHub репозиторий.
- Алгоритмы и теория: Алговики.